

# (49) 基礎入力を受ける群杭基礎構造物の応答特性

岡山大学工学部 竹宮, 宏和  
 岡山大学大学院 ○湯川 保之  
 川田工業 編 敷下 二郎

## I. まえがき

本研究は、軟弱成層地盤上の群杭基礎構造物の基礎入力に対する応答性状を把握するに際して、まず、杭-地盤-杭系の動的相互作用を Navier 式で支配される粘弾性体内の複数の梁の挙動として扱う。定式化は、地盤反力の算定を平面歪を仮定した、独立な薄層地盤について行ない、杭-地盤-杭の連成振動系を、固有値解析を通して独立な支配方程式へ導いている。多層地盤内の杭の挙動を解析するにあたって伝達マトリックス法を採用し、杭頭インピーダンス及び杭頭有効入力を評価した。つきに、群杭基礎上の橋脚構造物の応答性状について、動的サブストラクチャ法から調べた。特に、杭-地盤-杭系の解析では3次元解析と併せて地盤剛性の対角化による近似解法及び、“リング杭”解析による簡略手法を提示している。また、有限要素法による解との比較も行った。

## II. 定式化 【3次元解析】

地盤応答の算定は地盤を成層構成の3次元粘弾性体と仮定し、円筒座標系において平面歪仮定のもとで、周方向へフーリエ級数展開し、各応答パターンに対する特定項を採用する。ここでは地盤-杭系の解析を容易にするため、地盤振動を水平と鉛直に独立させて考える。つまり、群杭基礎の鉛直並進に相当する地盤振動は、フーリエ級数項  $n=0$  の対称モード、そして水平並進及び回転の連成振動に対しては、 $n=1$  の対称及び逆対称モードを選ぶ(図1)。

$$\begin{cases} U(r, \theta, z) \\ V(r, \theta, z) \\ W(r, \theta, z) \end{cases} = \begin{bmatrix} \vdots \\ [H_1^{sa}(\theta)] \\ \vdots \\ 1 \end{bmatrix} \begin{cases} \hat{U}(r, z) \\ \hat{V}(r, z) \\ \hat{W}(r, z) \end{cases} \quad (1)$$

ただし、 $[H_1^{sa}(\theta)]$  は対称変形モードに対して  $\text{diag.}(\cos\theta, -\sin\theta)$ 、逆対称変形モードに対して  $\text{diag.}(\sin\theta, \cos\theta)$  を用いる。式(1)と同様に応力をフーリエ振幅で表わし、未知係数を消去することによって、応力-変位関係が成り立つ。

$$\underline{U}(r_1, \theta, z_j) = \underline{H}(\theta) \underline{K}(r_1) \underline{J}^{-1}(r_2) \underline{\theta}(r_2, z_j) \quad (2)$$

ここに

$$\underline{K}(r) = \begin{bmatrix} \partial K_1(qr)/\partial r & K_1(sr)/r & 0 \\ K_1(qr)/r & \partial K_1(sr)/\partial r & 0 \\ 0 & 0 & k_0(pr) \end{bmatrix}$$

$$\underline{J}(r) = \begin{bmatrix} (\lambda_j + 2\mu_j)q^2 K_1(qr) + 2\mu_j/r K_0(qr) + 4\mu_j/r^2 K_1(qr) & -2\mu_j\{s/r K_0(sr) + 2/r^2 K_1(sr)\} & 0 \\ -2\mu_j\{q/r K_0(qr) + 2/r^2 K_1(qr)\} & \mu_j\{s^2 + 4/r^2\} K_1(sr) + 2\mu_j/rs K_0(sr) & 0 \\ 0 & 0 & \mu_j \partial K_0(pr) / \partial r \end{bmatrix}$$

$K_m(\ )$  は  $m$  次の第2種変形ベッセル関数

地盤のフレキシビリティ・マトリックスは単位加振による地盤応答の結果から直交座標において評価する。つまり任意の2点の杭キャビティ  $I, J$  において  $I$  点の  $x, y$  方向加振に対する  $J$  点のそれぞれの応答から、地盤フレキシビリティ・マトリックスは

$$\underline{F}_{xyz_j}^{JI} = \begin{bmatrix} U_{xx}^{JI} & U_{yx}^{JI} & 0 \\ U_{xy}^{JI} & U_{yy}^{JI} & 0 \\ 0 & 0 & U_z^{JI} \end{bmatrix}_j \quad (3)$$

そして、同一層内の総節点に関しては、式(3)を拡張して

$$\underline{F}_{xyz_j} = \begin{bmatrix} F_{xyz}^{11} & F_{xyz}^{12} & \dots & F_{xyz}^{1N} \\ F_{xyz}^{22} & \dots & \dots & \dots \\ \vdots & \vdots & \ddots & \vdots \\ sym. & \dots & \dots & F_{xyz}^{NN} \end{bmatrix}_j = \begin{bmatrix} F_{xy} & \vdots \\ \vdots & O \\ O & \vdots \\ \vdots & F_z \end{bmatrix}_j \quad (4)$$

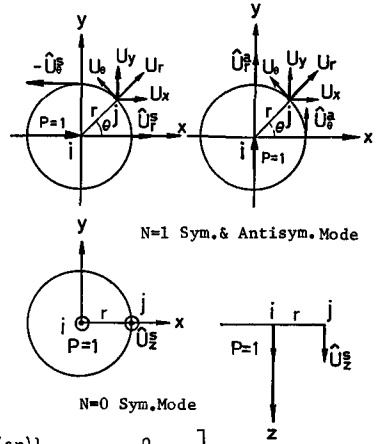


図1 フーリエ振幅



#### IV. 解析例及び考察

本研究の解析対象構造物として図2に示す橋脚基礎を用いた。群杭基礎の上部構造物との連成振動における動特性を把握するため、まず総杭頭インピーダンスをフーチング重心でとらえた(図3, 4)。図3の3次元解との比較において、リング杭解はよく一致しており地震動の卓越振動数の帯域を考慮して耐震解析に使用することの妥当性が認められる。また有限要素法との差は地盤反力の算定にあり両者がかなりの高振動まで一致していることは、平面歪の有効性を示している。図4では群杭解析と単杭解析との比較から、杭-地盤-杭の相互作用の重要性が認められる。しかし、有効入力地盤と杭の相互作用よりも地盤振動に大きく支配されている(図5)。図6は単杭解析と群杭解析の比から群杭効果を評価したものである。同図より対象とする運動形態にもよるが、2 Hz以下の振動数領域では3次元解とリング杭解は一致して、1より小さいほぼ一定値を示す。よって、この低振動数領域では静的な計算による群杭効果を動的な問題にも使用可能であるとわかる。しかし、3 Hzより高い振動数領域になると、動的群杭効果は1より却って大きくなり、3次元解では5~7 Hzにピークを呈している。リング杭解も群杭効果を増すものの、このピーク振動数付近でかなり3次元解とはずれて来ている。次に対象橋脚の代表箇所と自然地盤の伝達関数を調べた(図7, 8, 9)。全体系で応答のピークは1次、2次が地盤のピークと一致し上部構造系のみ固有振動数(4.91 Hz)ではピークを有しない。最後に杭の断面力分布を地盤振動を考慮にいたした場合と、上部構造物の慣性力のみを考慮した場合について、それぞれ杭先の境界条件を変化させて示した(図10)。これより現行の上部構造物の慣性力のみを考慮に入れた杭の設計が、今回のように地盤振動を考慮した場合に比べてかなり過小評価していると思われる。

#### 《参考文献》

- 1) H. TAKEMIVA, Y. YUKAWA: Dynamic Analysis of Grouped Pile Foundation in Layered Soils. The 2nd International Conference on Soil Dynamics & Earthquake Engineering 1985
- 2) 竹宮、湯川: 群杭基礎構造物の動特性、土木学会第39回年次学術講演会(1) 1984年10月
- 3) 竹宮、正木、小島、二宮: 動的サブストラクチャ法による地盤-基礎-上部構造物系の3次元地盤応答解析、第17回マトリックス解析シンポジウム 1983年
- 4) H. TAKEMIVA, Y. YAMADA: Layered Soil-Pile-Structure Dynamic Interaction. Earthquake Engineering and Structural Dynamics 1981

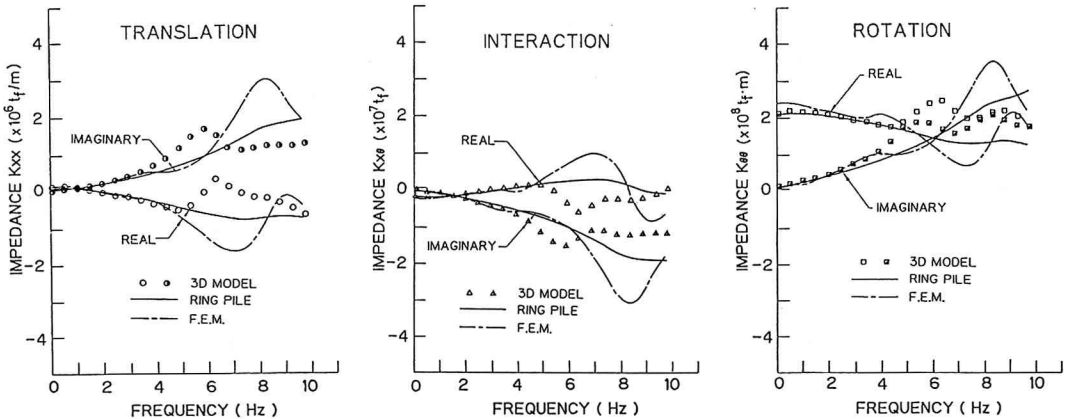
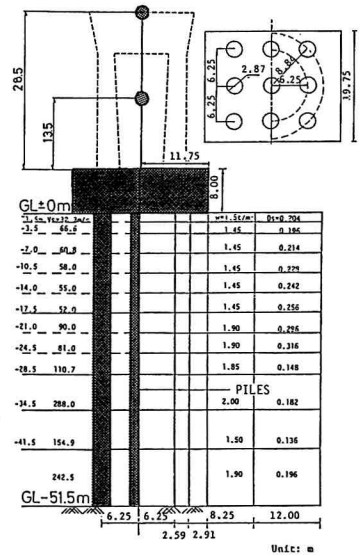


図3 杭頭インピーダンス関数

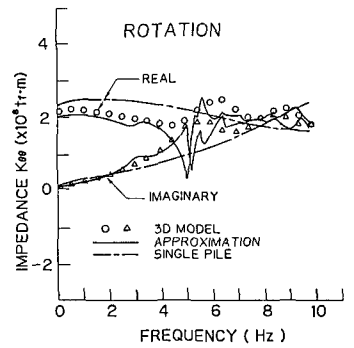
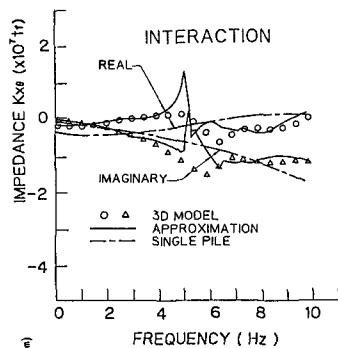
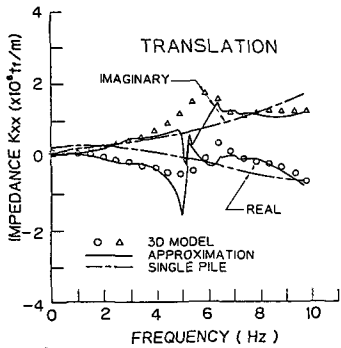


図4 杭頭インピーダンス関数

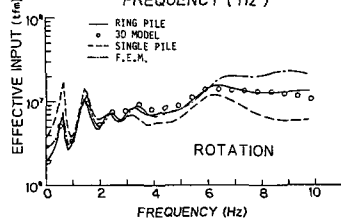
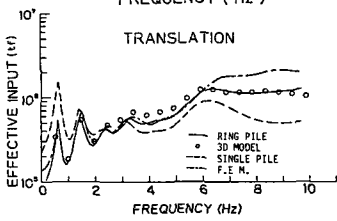


図5 杭頭有効入力

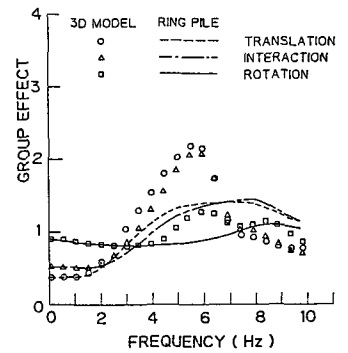


図6 動的群杭効果(絶対値)

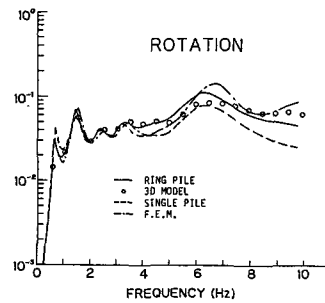
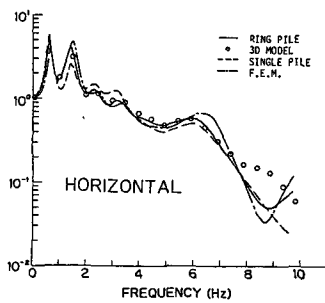


図7 伝達関数(下部構造系)

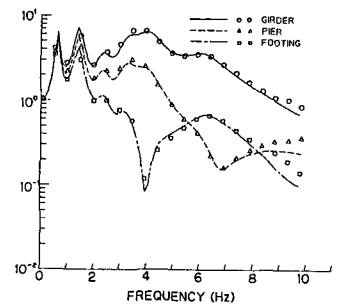


図8 伝達関数(全体系)

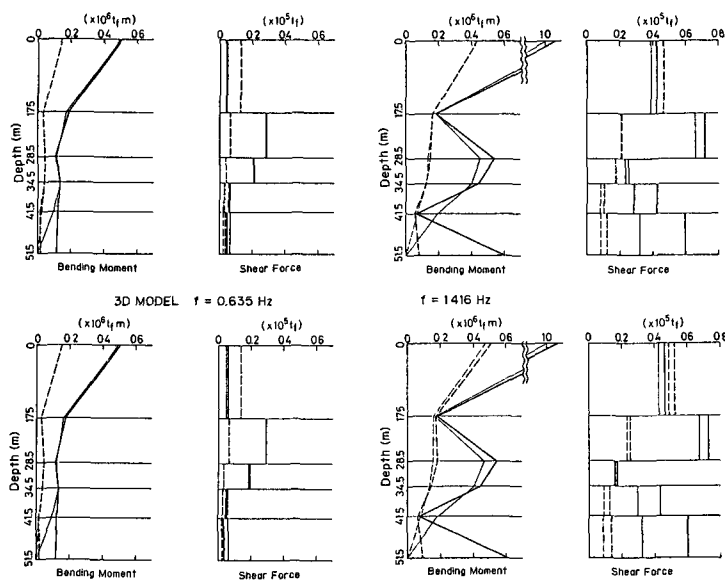


図10 断面力分布図

図9 自然地震伝達関数

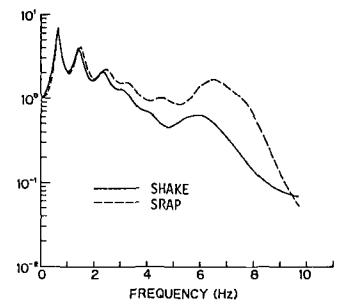


図9 自然地震伝達関数